

Таблица 1  
Параметры решетки  $a$ ,  $c$ , объем элементарной ячейки  $V$  и температура Кюри  $\Theta_f$  сплавов  $\text{CrTe}_{1-x}\text{Se}_x$

Соединение	$a$ , кХ	$c$ , кХ	$c/a$	$V$ , кХ <sup>3</sup>	$\Theta_f$ , °С		
					1	2	3
CrTe	3,985	6,268	1,573	86,20	58,0	57,5	60,0
$\text{CrTe}_{0,93} \text{Se}_{0,07}$	3,974	6,241	1,570	85,35	29,5	27,0	35,0
$\text{CrTe}_{0,90} \text{Se}_{0,10}$	3,963	6,233	1,573	84,77	20,5	19,0	22,0

это уменьшение всесторонним давлением, или же введением примеси селена с образованием твердых растворов замещения  $\text{CrTe}_{1-x}\text{Se}_x$ .

Для того чтобы решить вопрос, не вызывает ли всестороннее давление помимо сильного уменьшения интеграла обменного взаимодействия также и изменение величины магнитного момента атома хрома в CrTe, рассмотрим подробнее измеренные нами при давлении 4600 кГ/см<sup>2</sup> изотермы гальваномагнитного эффекта. Согласно нашим измерениям, знак эффекта изменения электросопротивления в магнитном поле отрицателен, независимо от взаимного расположения тока в образце и внешнего поля ( $r < 0$  как при  $H \parallel I$ , так и при  $H \perp I$ ), что можно объяснить влиянием парапроцесса, так как кривые  $r(H)$ , полученные нами экспериментально, согласуются с теоретическими соотношениями, предложенными Акуловым [10]:

$$\begin{aligned} r &= aH^{2/3} \quad \text{при } T = \Theta_f, \\ r &= bH^2 \quad \text{при } T > \Theta_f. \end{aligned} \quad (2)$$

Закон зависимости гальваномагнитного эффекта от напряженности магнитного поля в точке Кюри, аналогичный первому в (2), как показано в работе Белова и Зайцевой [11], может быть получен на основании термодинамической теории ферромагнетизма [18] соотношения

$$r_s = c\sigma_s^2, \quad (3)$$

где  $r_s$  — величина гальваномагнитного эффекта, обусловленная спонтанной намагниченностью. В этом случае коэффициент  $a$  будет равен<sup>2)</sup>

$$a = c\beta^{-2/3}\sigma_0^{8/3}. \quad (4)$$

Здесь  $\beta$  — термодинамический коэффициент, зависящий от давления и температуры, а  $\sigma_0$  — намагниченность абсолютного насыщения.

На рис. 5 приведены кривые зависимости  $r$  от  $H^{2/3}$  для теллурида хрома при атмосферном давлении и давлении 4600 кГ/см<sup>2</sup>, а также для сплава

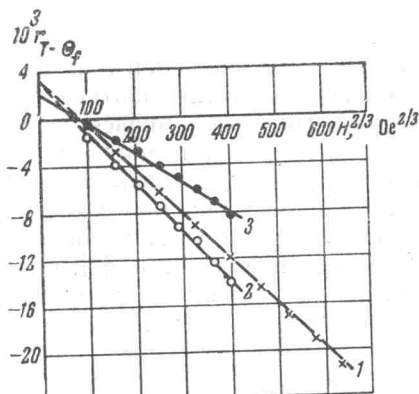


Рис. 5. Зависимость  $r$  от  $H^{2/3}$ : кривая 1 — CrTe при атмосферном давлении, кривая 2 — CrTe при  $p = 4600$  кГ/см<sup>2</sup>, кривая 3 —  $\text{CrTe}_{0,93} \text{Se}_{0,07}$  при атмосферном давлении

[12] с учетом найденного Герлахом

<sup>2)</sup> Формула (3) для коэффициента  $a$  отличается от аналогичного выражения для  $a$  в формуле (7) работы Белова и Зайцевой [11] тем, что при ее выводе в разложении термодинамического потенциала в ряд по степеням относительной намагниченности был учтен член, зависящий от внешнего магнитного поля как  $\sigma H$ . В [9,11] этот член учтен в виде  $\eta H$ , что не совпадает с размерностью термодинамического потенциала, а соответствует энергии магнитного поля, отнесененной к намагниченности насыщения.

$\text{CrTe}_{0.93}\text{Se}_{0.07}$ , объем элементарной ячейки которого равен объему элементарной ячейки  $\text{CrTe}$  при давлении  $4600 \text{ кГ/см}^2$ . Ввиду сильной зависимости гальваномагнитного эффекта от температуры величины  $r$  даны для одинаковых значений приведенных температур  $T/\Theta_f = 0,99$ . Как видно из графиков, во всех случаях имеет место линейная зависимость  $r$  от  $H^2$ .

Численные значения коэффициента  $a$ , характеризующие наклон прямых и определяющие интенсивность парапроцесса, а также величины спонтанного гальваномагнитного эффекта  $r_s$ , соответствующие положительным отрезкам, отсекаемым прямыми на оси ординат, приведены в табл. 2.

Таблица 2

Соединение	$10^6 a$	$10^6 r_s$	$\sigma_s, \text{Г} \cdot \text{см}^3/\text{э}$	$\sigma_0, \text{Г} \cdot \text{см}^3/\text{э}$	$10^{-4} \rho, \Omega \cdot \text{см}$
			$T/\Theta_f = 0,99$		
$\text{CrTe}(p = \sim 1 \text{ кГ/см}^2)$	3,8	3,3	14,2	76,3	2,1
$\text{CrTe}(p = 4600 \text{ кГ/см}^2)$	4,3	3,3	—	—	3,5
$\text{CrTe}_{0.93}\text{Se}_{0.07}$	2,6	2,3	10,1	75,0	8,2

Здесь же даны измеренные нами значения спонтанной намагниченности  $\sigma_s$  и удельного электрического сопротивления  $\rho$ . За величины  $\sigma_0$  принимались экспериментальные значения [8] намагниченности насыщения при  $T = 20^\circ\text{К}$ . Температурная зависимость  $\sigma_s$  сплава  $\text{CrTe}_{0.93}\text{Se}_{0.07}$  в области точки Кюри определялась нами двумя путями: по кривым  $r(\sigma^2)$ , экстраполяция линейных участков которых к значениям  $r = 0$  дает величину квадрата спонтанной намагниченности, а также с помощью метода «термодинамических коэффициентов» [9], что одновременно позволило определить температурную зависимость термодинамического коэффициента  $\beta$ .

Сравнение результатов измерения  $\text{CrTe}_{0.93}\text{Se}_{0.07}$  с проведенными ранее исследованиями температурного хода спонтанной намагниченности  $\text{CrTe}$  [14]

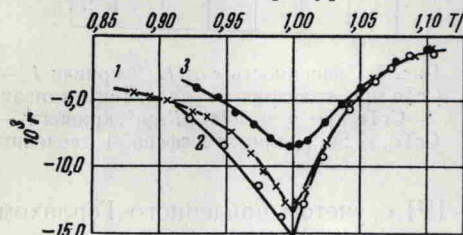


Рис. 6. Температурная зависимость попеченного гальваномагнитного эффекта при  $H = 8000 \text{ Ое}$ : кривая 1 —  $\text{CrTe}$  при атмосферном давлении, кривая 2 —  $\text{CrTe}$  при  $p = 4600 \text{ кГ/см}^2$ , кривая 3 —  $\text{CrTe}_{0.93}\text{Se}_{0.07}$  при атмосферном давлении

указывает на то, что магнитное превращение в  $\text{CrTe}_{0.93}\text{Se}_{0.07}$  носит более размытый характер. Коэффициент  $\xi$ , входящий в известную формулу  $(\sigma_s/\sigma_0)^2 = \xi (1 - T/\Theta_f)$ , для  $\text{CrTe}_{0.93}\text{Se}_{0.07}$  равен 1,44, что значительно меньше величины  $\xi$ , полученной для  $\text{CrTe}$ .

На рис. 6 даны кривые зависимости гальваномагнитного эффекта  $r$  от приведенных температур  $T/\Theta_f$  для  $\text{CrTe}$  при атмосферном давлении и давлении  $4600 \text{ кГ/см}^2$ , а также для сплава  $\text{CrTe}_{0.93}\text{Se}_{0.07}$ . Значения  $r$  для всех трех случаев

взяты из изотерм гальваномагнитного эффекта при напряженностях магнитного поля  $H = 8000 \text{ Ое}$ . Из графиков следует, что при  $T < \Theta_f$  давление приводит к увеличению абсолютного значения гальваномагнитного эффекта в  $\text{CrTe}$ , однако при  $T > \Theta_f$  (в парамагнитной области) кривые  $r(T/\Theta_f)$ , снятые при атмосферном давлении и  $p = 4600 \text{ кГ/см}^2$ , практически совпадают. Последнее может свидетельствовать о том, что наблюдаемое изменение гальваномагнитного эффекта под давлением связано с изменением намагниченности, вызванным всесторонним сжатием вещества. Кривая, полученная при измерении  $\text{CrTe}_{0.93}\text{Se}_{0.07}$  во всем исследованном интервале температур, лежит значительно ниже первых двух.